



Vlnková transformace

Analýza signálů I

ZS 2023/2024

Michal Huptych

19. 12. 2023

Signál v časové doméně

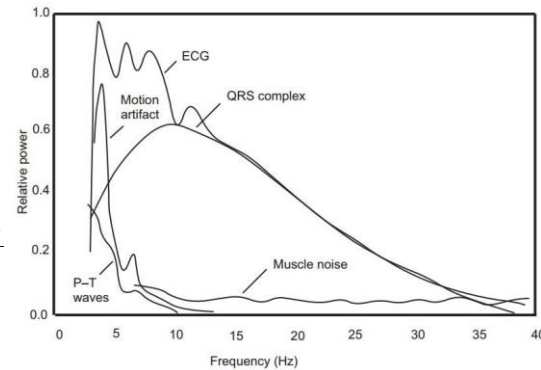
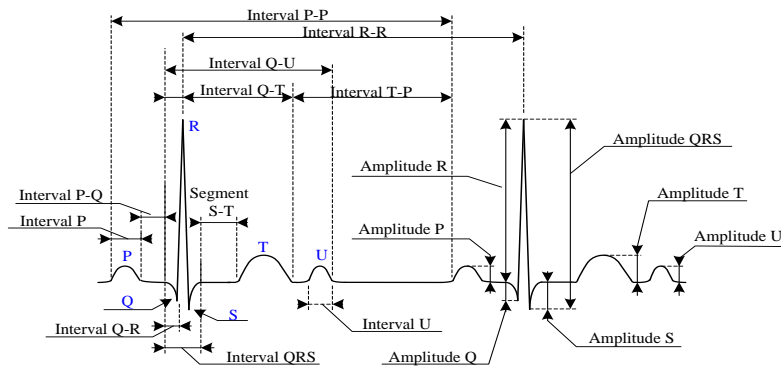


- Signál měřený v čase
 - Amplituda je závislou veličinou funkce času
- Přirozená reprezentace měřené veličiny
 - Většina měření probíhá primárně v čase
- Ne vždy vhodná doména pro analýzu signálu
 - Nemá v časové oblasti jasně patrnou informaci
 - Je rušený a rušení je více patrné v jiné doméně
 - Vhodná extrakce příznaků v jiné doméně

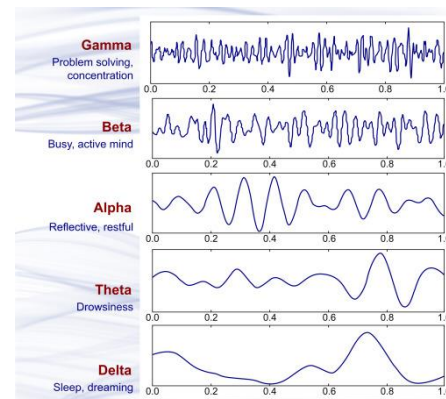
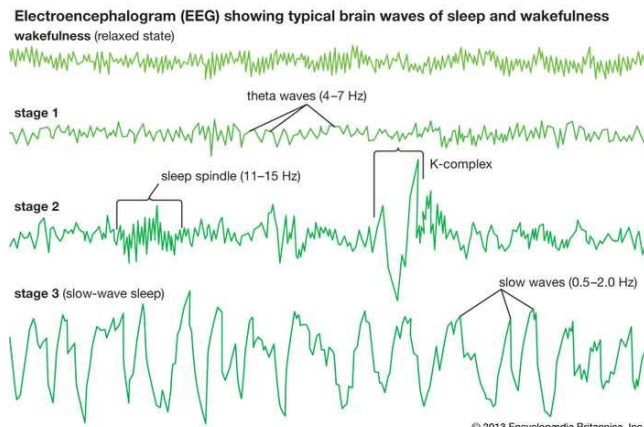
Sigál v časové doméně (2)



- Typický rozdíl ve dvou biosignálech z hlediska domény zpracování
- Elektrokardiogram (EKG) - Signál mající diagnostický význam v časové oblasti



- Elektroencefalogram (EEG) - Signál mající diagnostický význam ve frekvenční oblasti



Reference: <https://www.britannica.com/science/electroencephalography>

Reference: [Introduction to EEG- and Speech-Based Emotion Recognition, 2016](#)

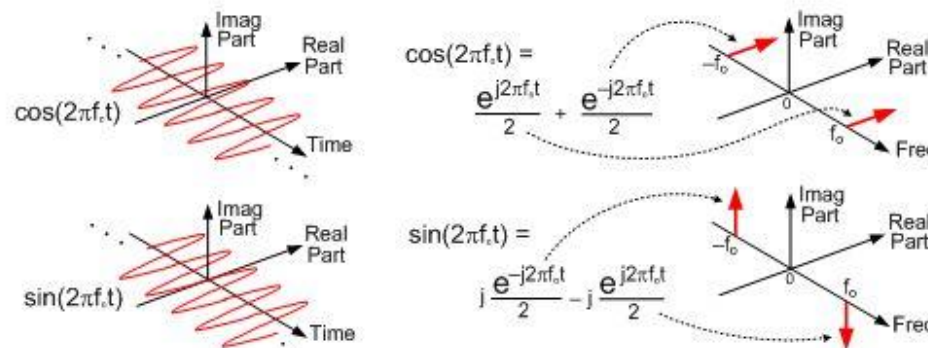
Signál ve frekvenční doméně



- Základní metoda je Fourierova transformace

$$S(\omega) = \int_{-\infty}^{\infty} s(t)e^{-j\omega t} dt = s(t) \cdot (\cos(\omega t) - j \cdot \sin(\omega t))$$

- Převod z čistě časové oblasti do čistě frekvenční oblasti
- Rozložení na frekvenční složky reprezentované bazí (sin, cos)
- Signál ve frekvenční oblasti je komplexní signál
 - Rozklad tedy probíhá z 1D do 2D prostoru (frekvence, reálná, imaginární složka) – my však zobrazujeme mod – tedy opět 1D signál

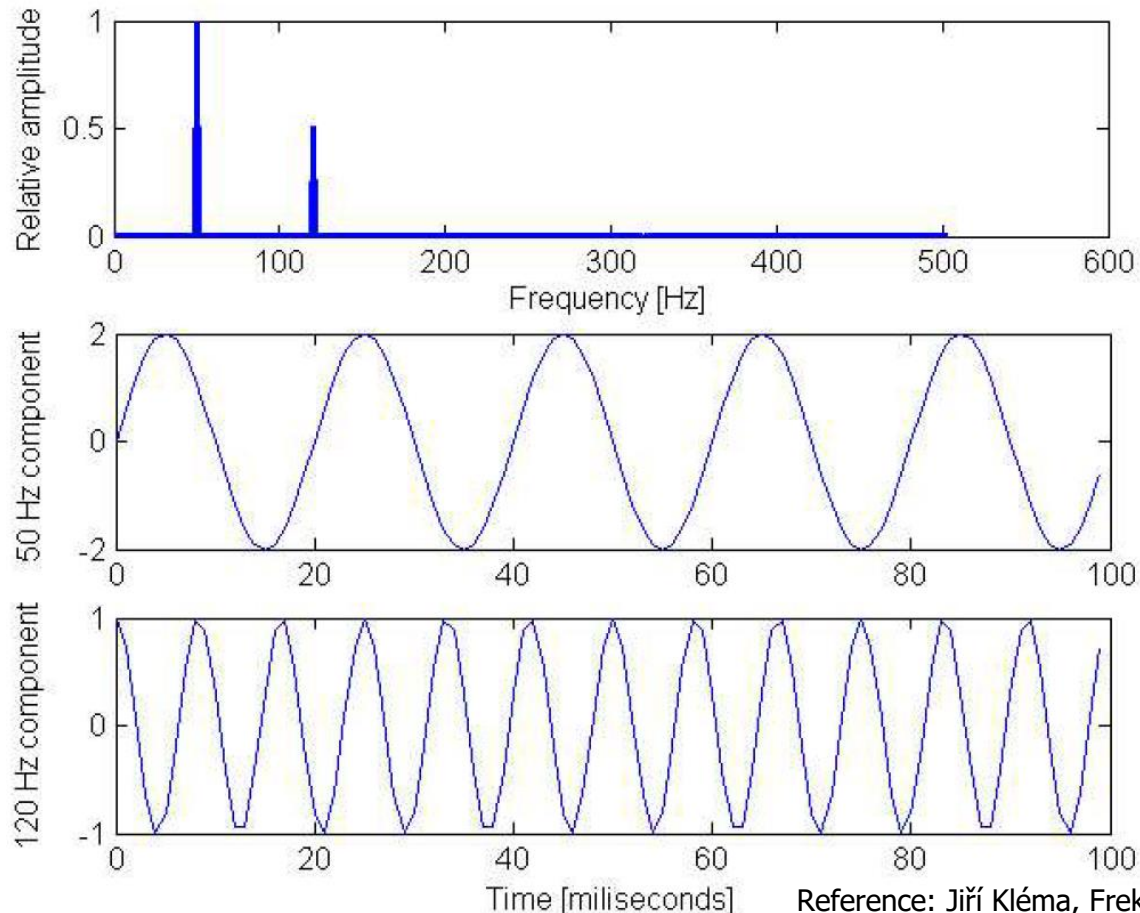


Reference: Rick Lyons, A Quadrature Signals Tutorial: Complex, But Not Complicated, 2013, dostupné na: <https://www.dsprelated.com/showarticle/192.php>

Sigál ve frekvenční doméně (2)



- U stacionárního signálu spektrum jasně definuje složky signálu
- Ztráta informace o čase není z pohledu vlastností signálu problematický

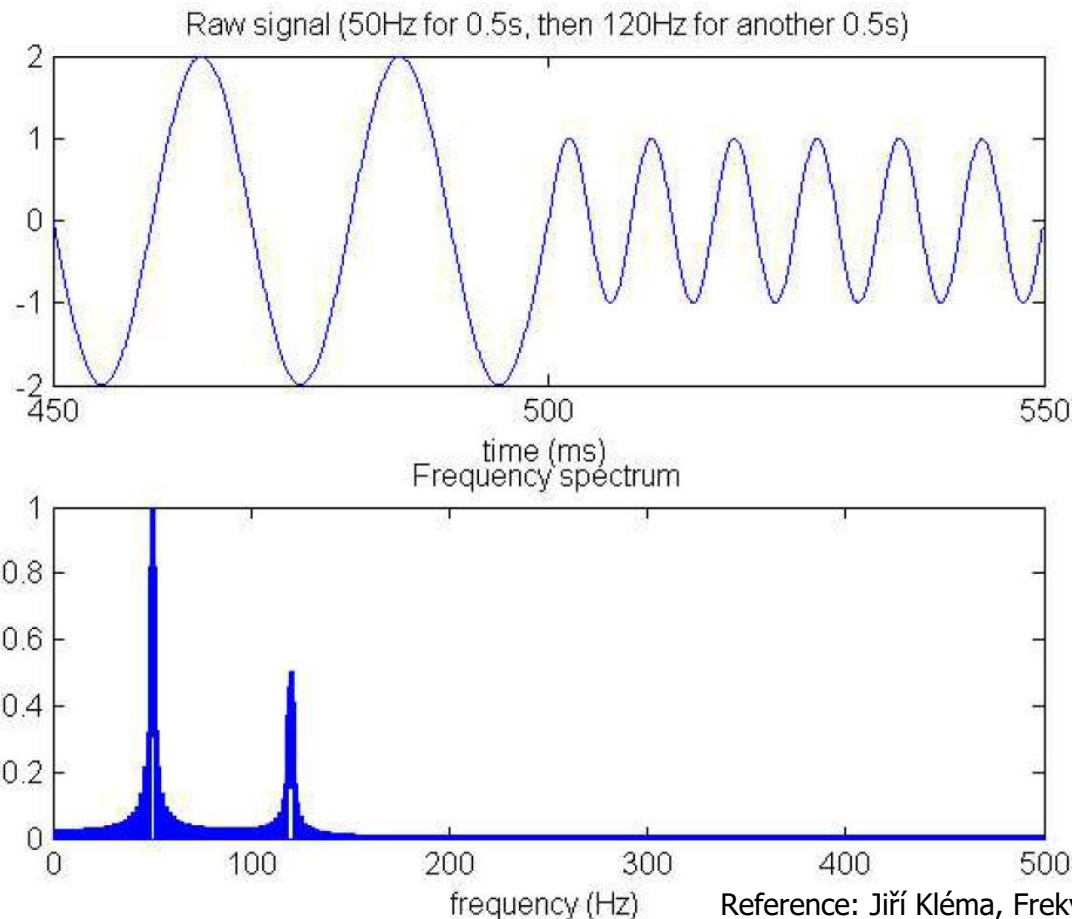


Reference: Jiří Kléma, Frekvenční a časově-frekvenční popis signálu, Gerstner laboratory, Machine Learning Group

Sigál ve frekvenční doméně (3)



- U nestacionárního signálu spektrum popisuje všechny frekvenční složky signálu, ale ztráta informace o čase může být významná

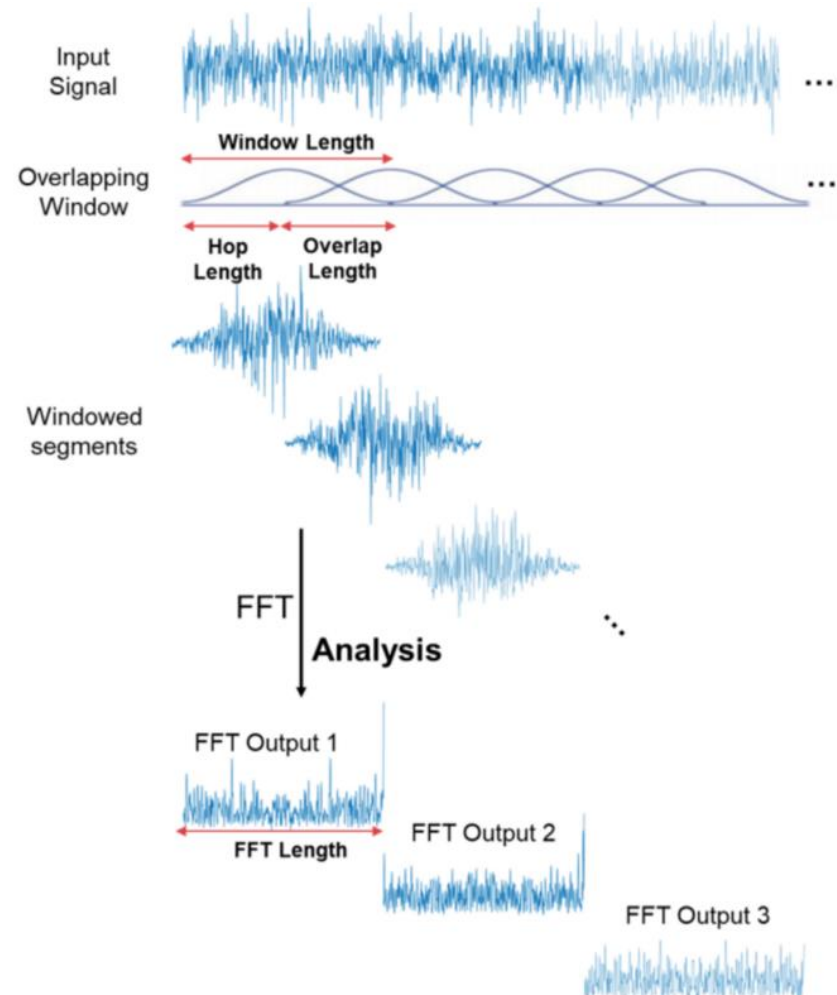


Reference: Jiří Kléma, Frekvenční a časově-frekvenční popis signálu, Gerstner laboratory, Machine Learning Group

Časově-frekvenční oblast



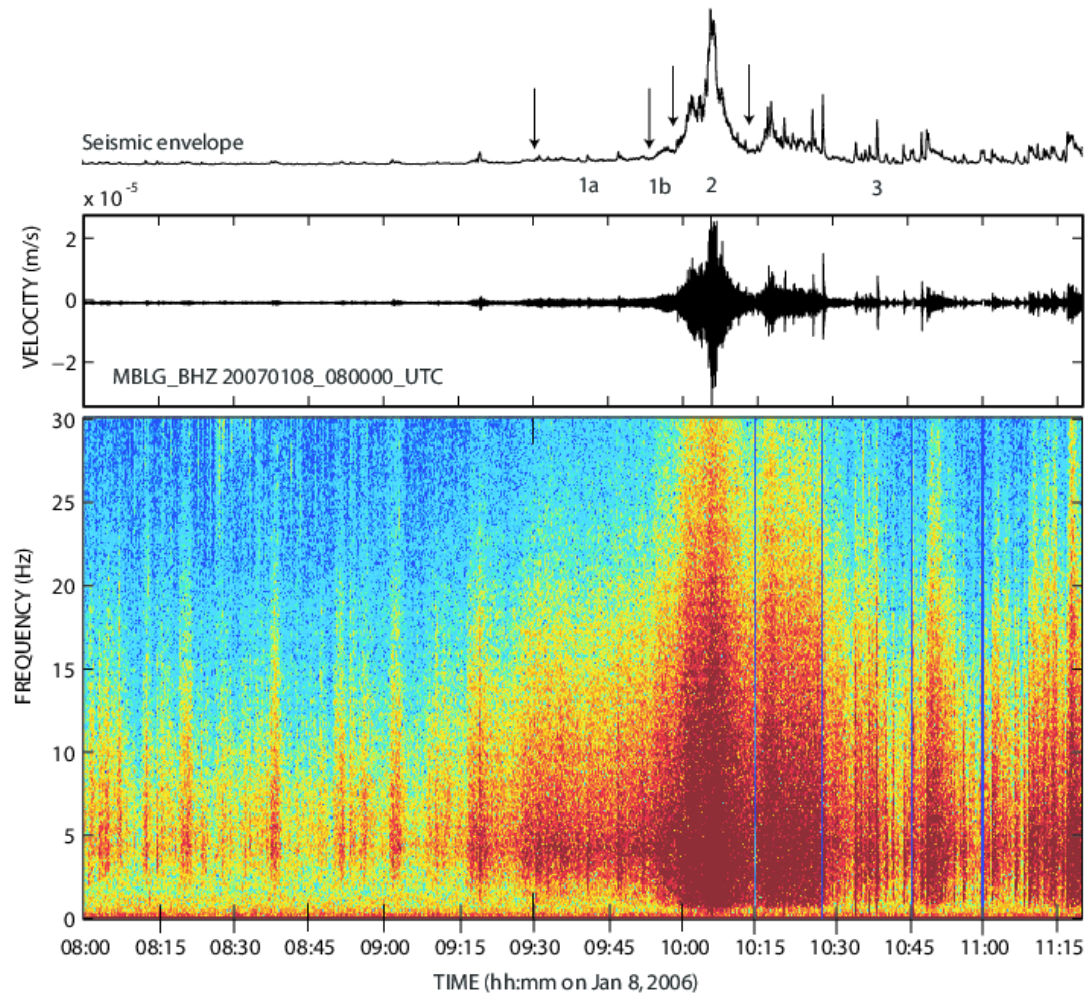
- Short-time Fourier Transform (STFT)
 - Metoda založená na Fourierově transformaci a rozdělení signálu v časové oblasti
 - Český překlad
Okénková Fourierova transformace
 - Násobení signálu posuvným oknem
 - Výstup ve třech dimenzích
 - frekvence
 - čas
 - amplituda
 - Amplituda je funkcí frekvence a času
 - Délka okna určuje přesnost transformace v časové a/i frekvenční oblasti



Časově-frekvenční oblast (2)



- Nejčastější zobrazení pomocí spektrogramu



Reference: Silvio De Angelis et al.,
Seismic characterization of pyroclastic
flow activity at Soufriere Hills Volcano,
Montserrat, 8 January 2007

Časově-frekvenční oblast (3)



- Nevýhodou SFTF je konstantní velikost délky segmentů signálu v časové oblasti.
- Otázka jak volit šířku okna
 - Pomalejší frekvence menší rozlišení v čase vyšší ve frekvencích
 - Rychlejší frekvence je vhodné rozlišovat v kratším čase
- Široké okno má tedy dobré rozlišení ve frekvenční doméně
- Úzké okno má dobré rozlišení v čase
- Problém je analogií (vyplývá s) Heisenbergova principu neurčitosti
 - Nelze současně stejně přesně určit polohu a rychlost částice

$$\Delta t \Delta \omega \geq \frac{1}{2}$$

Vlnková transformace



- V principu přidává nekonstantní šířku okna, kterým je násoben užitečný signál
 - Stále platí princip neurčitosti, ale změnou šířky okna můžeme jeho efekt snížit – zpřesnit výsledek transformace
 - Využívá vlastnosti, že rychlé frekvence trvají obvykle kratší čas, kdežto pomalé frekvence delší čas
- U STFT se provádí Fourierova transformace, zde je transformace celková, bez následné FT

Vlnková transformace (2)



- Založená na bazi vlnek
 - Krátké funkce, které tvoří okno pro přenásobení signálu
 - Různé vlnky mají různé vlastnosti – různě vhodné pro různé signály
 - Obecný předpis vlnkové transformace je:

$$WT(a, b) = \int_{-\infty}^{\infty} s(t) \cdot \psi\left(\frac{t - b}{a}\right) dt$$

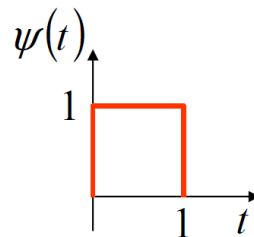
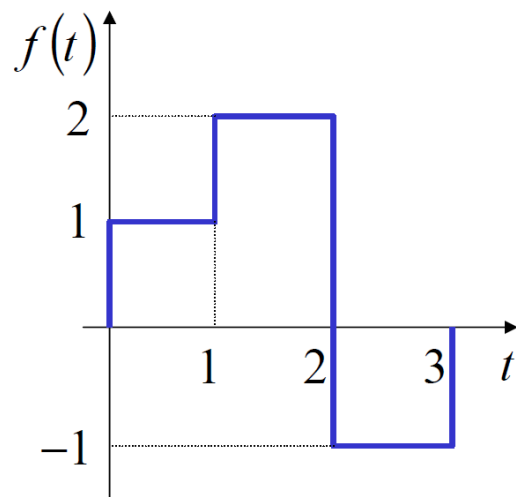
- Obecně založena na schopnosti dekompozice signálu pomocí rozvojových koeficientů (c_i) a rozvojové funkce (množiny) ($\psi_i(t)$)

$$f(t) = \sum_i c_i \psi_i(t)$$



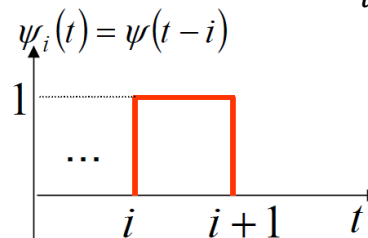
Vlnková transformace (3)

- Příklad lineární dekompozice vektoru
 - Vektor $\vec{a} = (3, -2, 1)$
 - Ortogonální rozvojová báze v prostoru \mathbb{R}^3 je $\{(1,0,0), (0,1,0), (0,0,1)\}$
 - Koeficienty vektoru \vec{a} jsou v prostoru \mathbb{R}^3 koordináty $(3, -2, 1)$
 - $\vec{a} = 3(1,0,0) - 2(0,1,0) + 1(0,0,1)$
- Příklad lineární dekompozice funkce



$$f(t) = \psi(t) + 2\psi(t-1) - \psi(t-1)$$

$$\begin{aligned} c_0 &= 1 \\ c_1 &= 2 \\ c_3 &= -1 \\ c_i &= 0 \end{aligned}$$



Reference: David Cuesta Frau, Pattern Recognition Techniques Applied to Biomedical Signal Processing, PhD Course, Prague, 2003

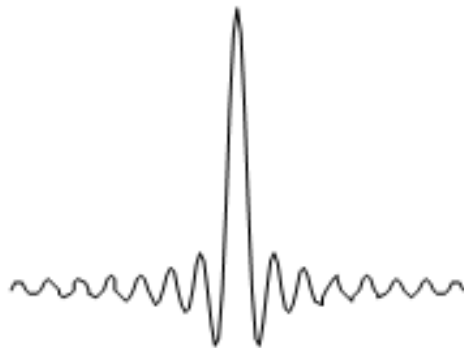
Vlnková transformace (4)



- Příklady vlnek



Haar



Shannon or Sinc



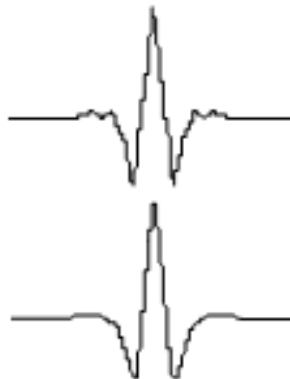
Daubechies 4



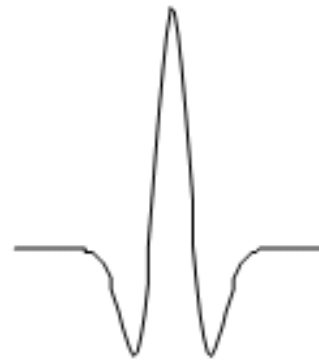
Daubechies 20



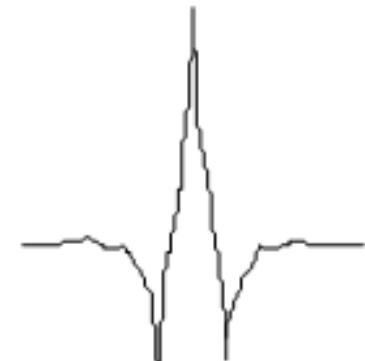
Gaussian or Spline



Biorthogonal



Mexican Hat



Coiflet

Vlnková transformace (5)



- Vlastnosti vlnek – požadavky
 - Ne každá funkce může být vlnka
 - Existují podmínky pro použití
 - Nulová střední hodnota

$$\int_{-\infty}^{+\infty} \psi(t) dt = 0$$

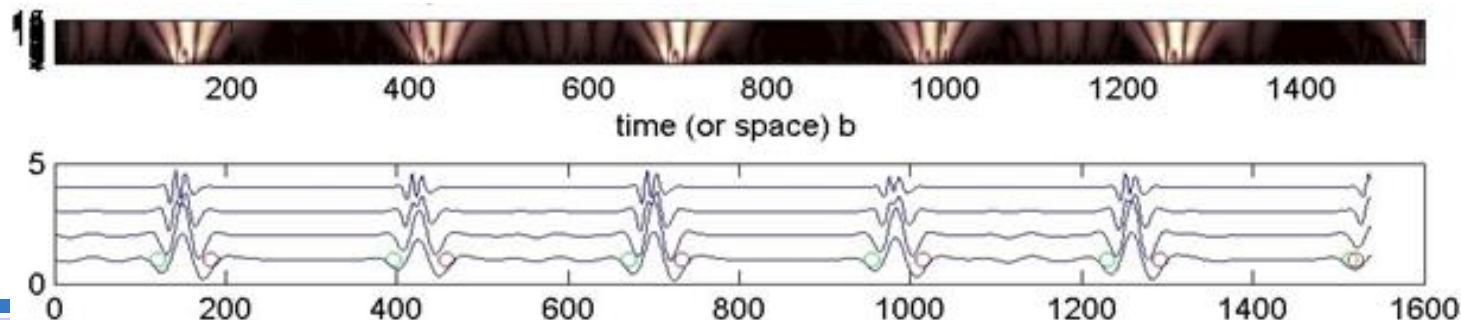
- Vhodný frekvenční rozsah ($\Psi(\omega)$) je Fourierova transformace $\psi(t)$

$$\int_0^{+\infty} \frac{|\Psi(\omega)|^2}{\omega} d\omega < \infty$$

Spojité vlnková transformace



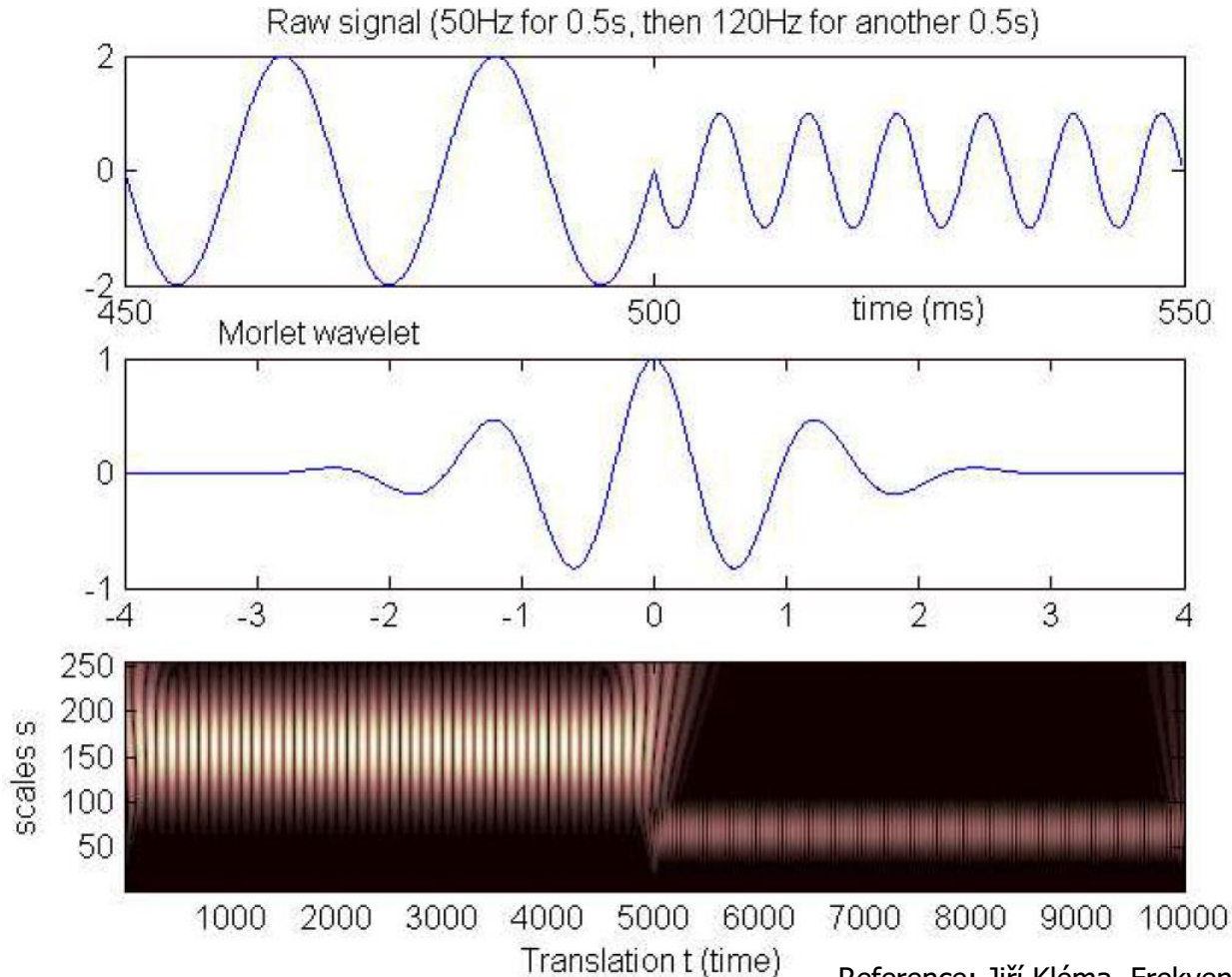
- Continuous wavelet transform (CWT)
- Založena na míře podobnosti vybrané vlnky v různých měřítcích s užitečným signálem
- Vlnka se posouvá vůči signálu v čase (translation)
- Vlnka mění své měřítko (scale), které je nepřímo úměrné frekvenci
- Vzniká množina signálů
 - Pro každé měřítko vlnky jeden podobnostní signál vlnky a užitečného signálu
- Signály jsou v digitální podobě reprezentovány vzorky
- Realizujeme diskretizovanou CWT – vzorky nekonečného množství koeficientů spojité transformace



Spojité vlnková transformace (2)



- Scalogram – grafický výstup spojitě vlnkové transformace



Reference: Jiří Kléma, Frekvenční a časově-frekvenční popis signálu, Gerstner laboratory, Machine Learning Group

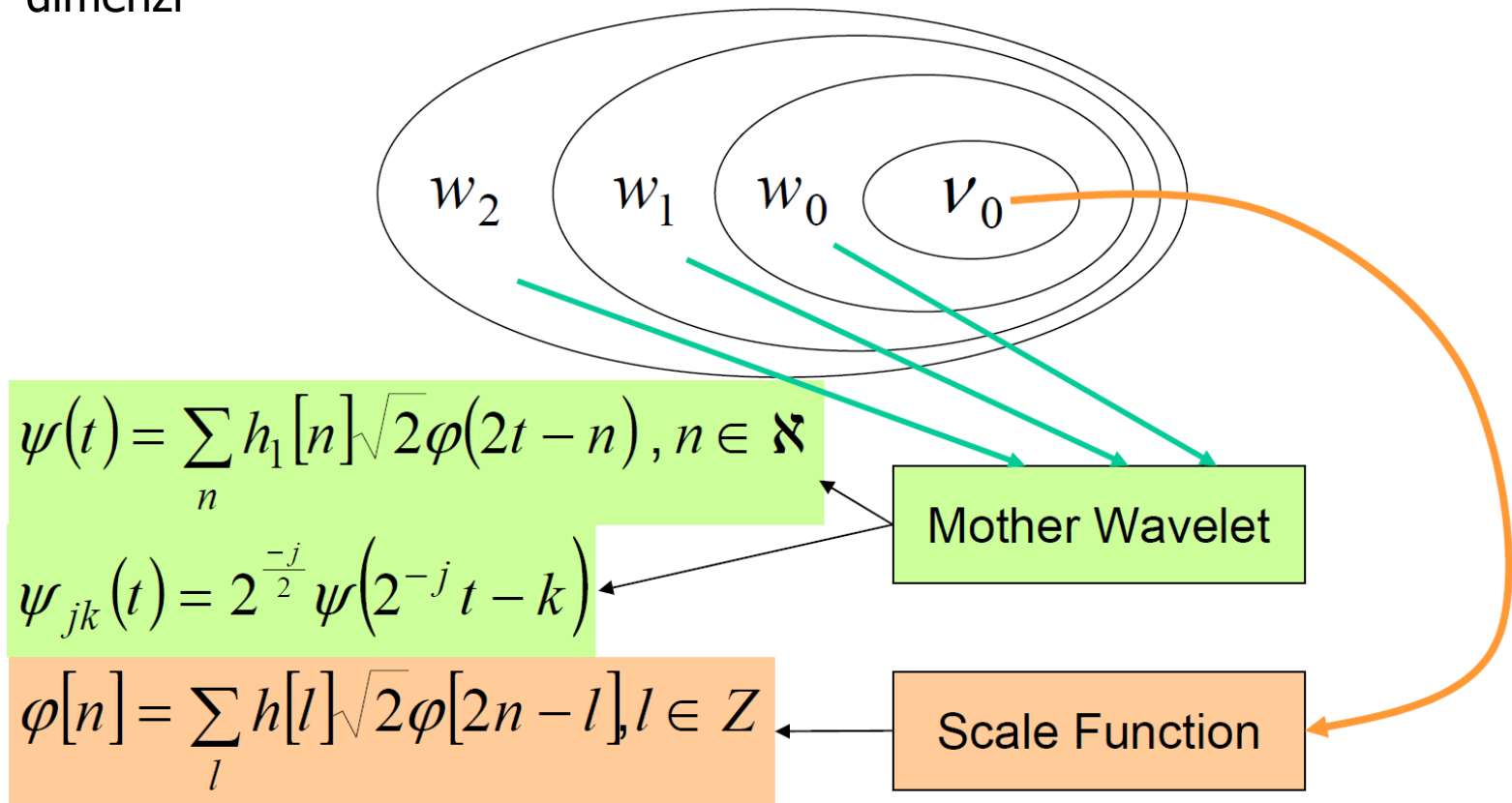


- Základem systému je multirozklad
- Vlnková funkce (mateřská vlnka)
 - Zpracovává signál do určitého měřítka – na celé spektrum by bylo potřeba nekonečně mnoho dělení
 - Od něj dále do nekonečna proto popisuje signál měřítková funkce
- Měřítková (scaling) funkce
 - Zajišťuje pokrytí celého spektra frekvencí
 - Vychází z principu, že pokud skupina funkcí signálů může být reprezentována pomocí váhované sumarizace funkcí $\varphi(t-k)$ je možné reprezentovat rozsáhlejší skupinu pomocí $\varphi(2t-k)$
- Finálně tedy využíváme vlnku (wavelet) a scaling funkci
 - Každá z částí reprezentuje část signálu z pohledu frekvencí
 - Části popsané měřítkovou funkcí se nazývají aproximace
 - Části popsané vlnkou se nazývá detail

Multiresoluční formulace



- Prostor $L^2 = V_0 \oplus W_0 \oplus W_1 \oplus W_2$
- Hilbertův prostor - zobecnění Euklidovského prostoru na nekonečnou dimenzi



Reference: David Cuesta Frau, Pattern Recognition Techniques Applied to Biomedical Signal Processing, PhD Course, Prague, 2003

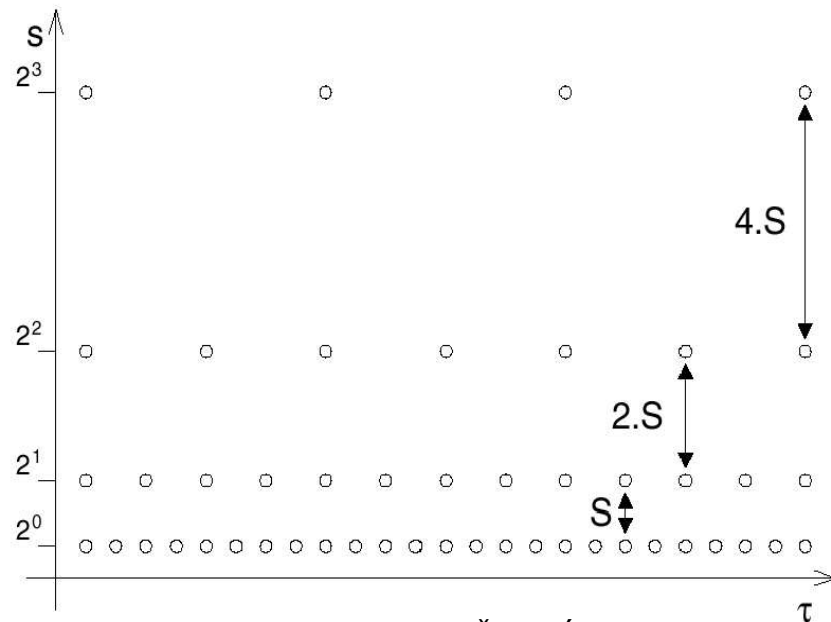
Diskrétní vlnková transformace



- Discrete wavelet transform (DWT)
- Optimalizace diskretizované CWT
 - Optimalizované vzorkování frekvenčního prostoru
 - Dyadická (dvojková) mřížka daná předpisem $s = 2^p$, $t = k2^p$, $p, k \in \mathbb{Z}$
 - Lze najít bázi vlněk, které jsou ortogonální / ortonormální

$$DWT = c_{kp} = \sum_n f[n] \psi_{kp}[n]$$

$$\psi_{kp}[n] = \frac{1}{\sqrt{2^p}} \psi \left[\frac{n - 2^p k}{2^p} \right]$$



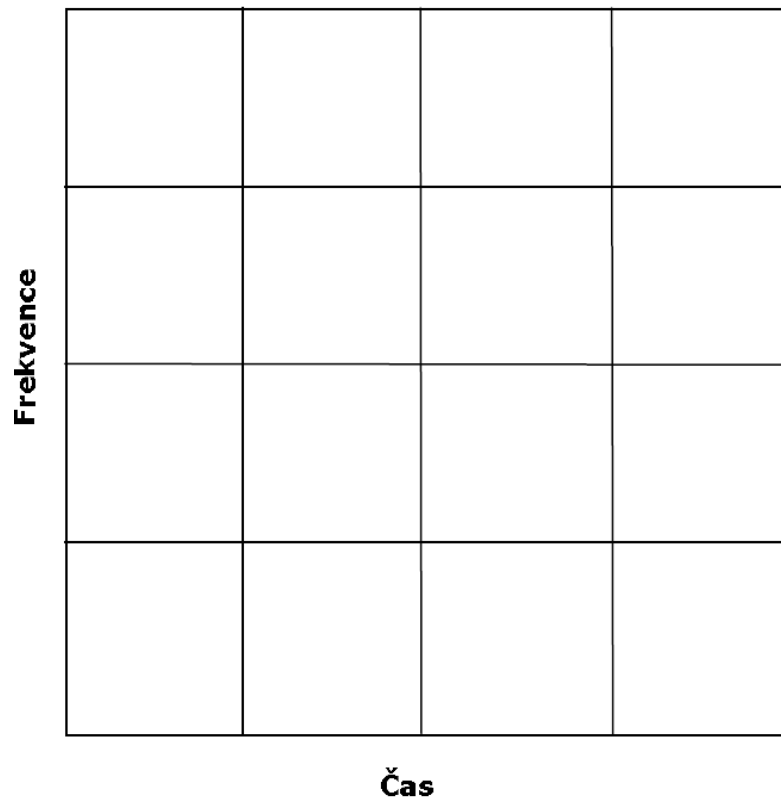
Reference: Radislav Šmíd, Úvod do vlnkové transformace, ČVUT FEL katedra měření, Praha 2001

Diskrétní vlnková transformace

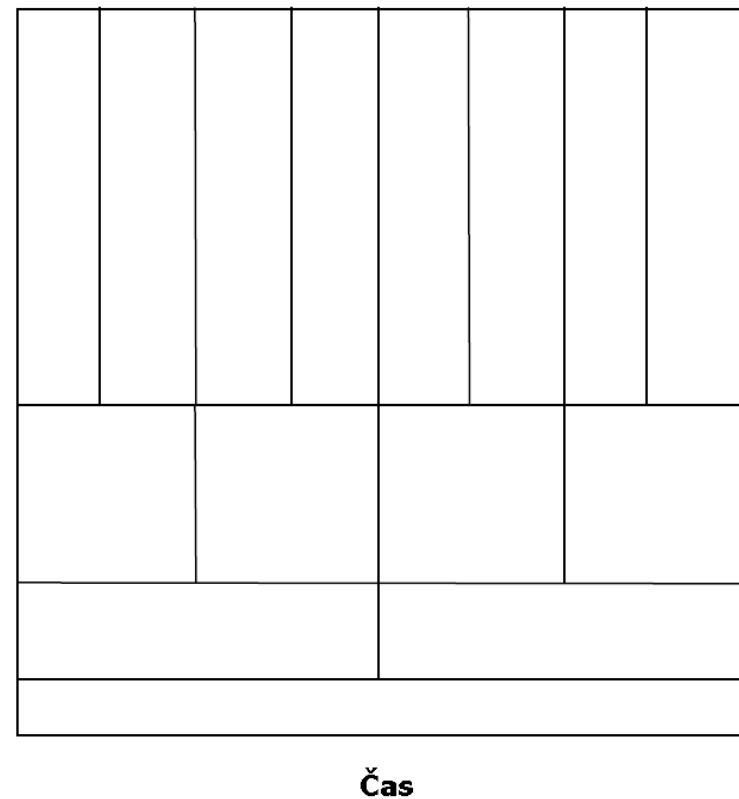


- Časové frekvenční vzorkování
 - Výsledný prostor (plocha) je stejný, ale jinak rozdělený

OKÉNKOVÁ FOURIEROVA TRANSFORMACE



VLNKOVÁ TRANSFORMACE



Reference: Jiří Kléma, Frekvenční a časově-frekvenční popis signálu, Gerstner laboratory, Machine Learning Group

Diskrétní vlnková transformace



- Transformace dělí signál na dvě části
- Jedna je definovaná na základě scaling funkce
- Druhá je definována na základě wavelet funkce

$$DWT(f[n]) = \begin{cases} c_k = \sum_n f[n]\varphi_k[n] \\ d_{pk} = \sum_n f[n]\psi_{pk}[n] \end{cases}$$

$$f[n] = \sum_k c_k \varphi_k(t) + \sum_p \sum_k d_{pk} \psi_{pk}(t)$$

- Signál vznikající interakcí užitečného signálu a **scaling funkce** je nazýván **aproximací**
- Signál vznikající interakcí užitečného signálu a **vlnkové funkce** je nazýván **detailem**

Diskrétní vlnková transformace

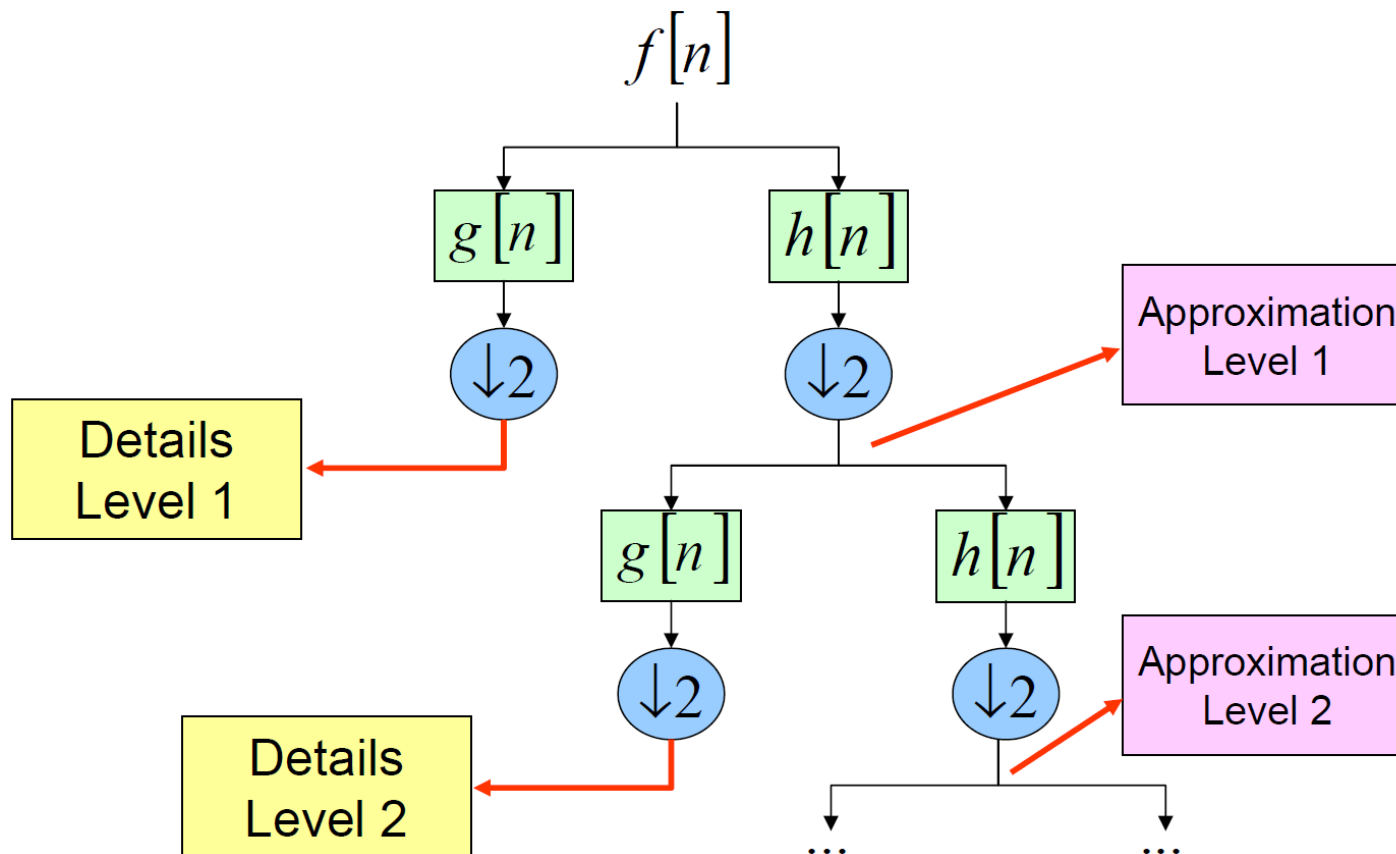


- Vztah vlnkové transformace a filtrace signálu
 - Diskrétní vlnková transformace může být realizována pomocí postupné filtrace
 - Měřítková i vlnková funkce jsou reprezentovány jako impulzní odezvy filtrů
 - Měřítko je definováno jako počet koeficientů impulzové odezvy
 - Algoritmus postupného filtrování se nazývá pyramidový algoritmus (někdy také Mallatův algoritmus)
 - Signál je filtrován dolními a horními propustěmi
 - Po každé filtraci je signál podvzorkován na polovinu vzorků
 - Podvzorkování posune frekvence v signálu na polovinu
 - Následná filtrace tak může opět rozdělit frekvenční pásmo na polovinu
 - Signál vznikající po filtraci dolními propustěmi je aproximace (interakce s měřítkovou funkcí)
 - Signál vznikající po filtraci horní propustěmi je detail (interakce s vlnkovou funkcí)

Diskrétní vlnková transformace



- Schema pyramidového algoritmu
 - Postupná filtrace a decimace signálu

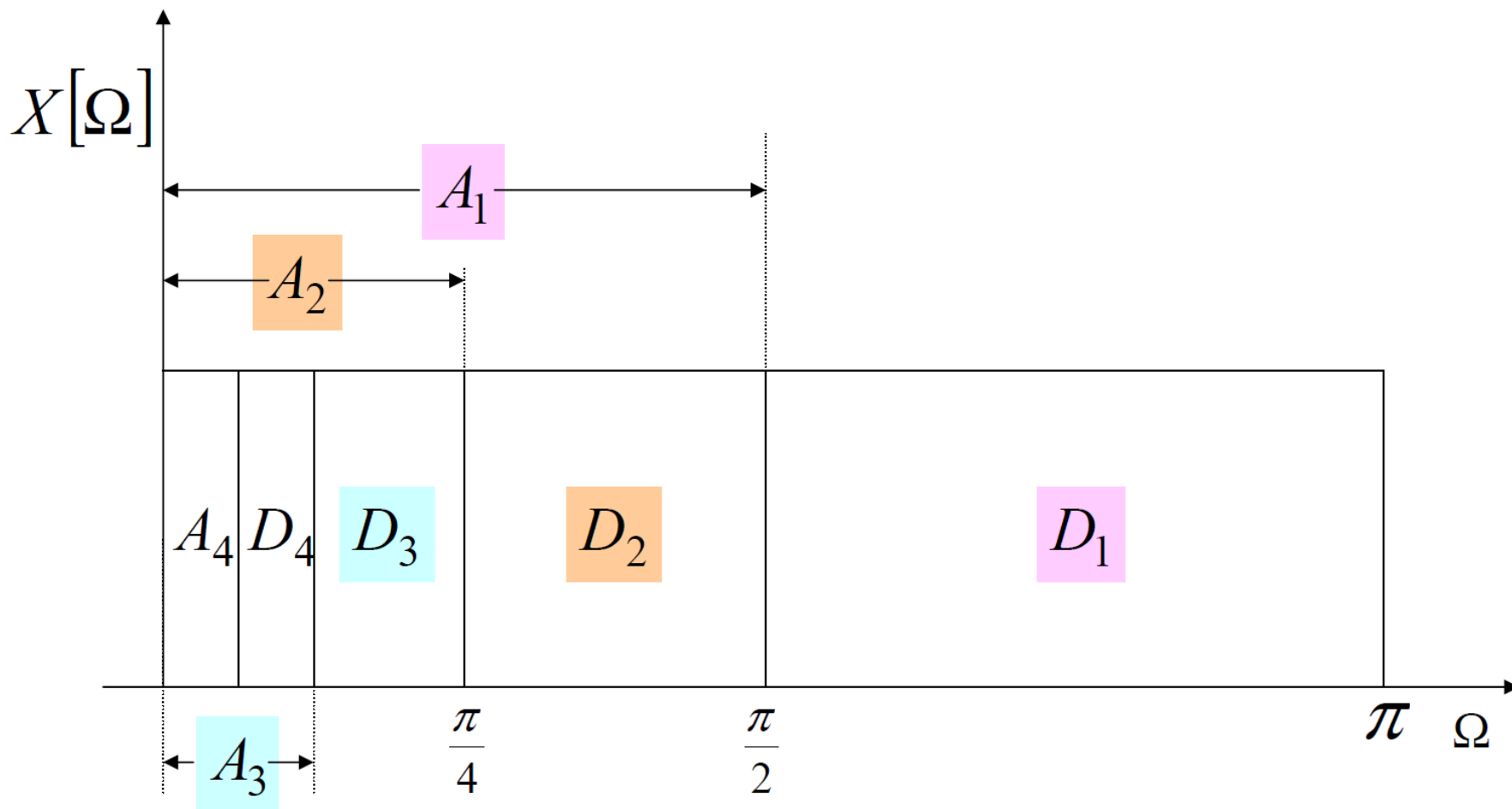


Reference: David Cuesta Frau, Pattern Recognition Techniques Applied to Biomedical Signal Processing, PhD Course, Prague, 2003

Diskrétní vlnková transformace



- Rozložení aproximací a detailů a vztah mezi nimi

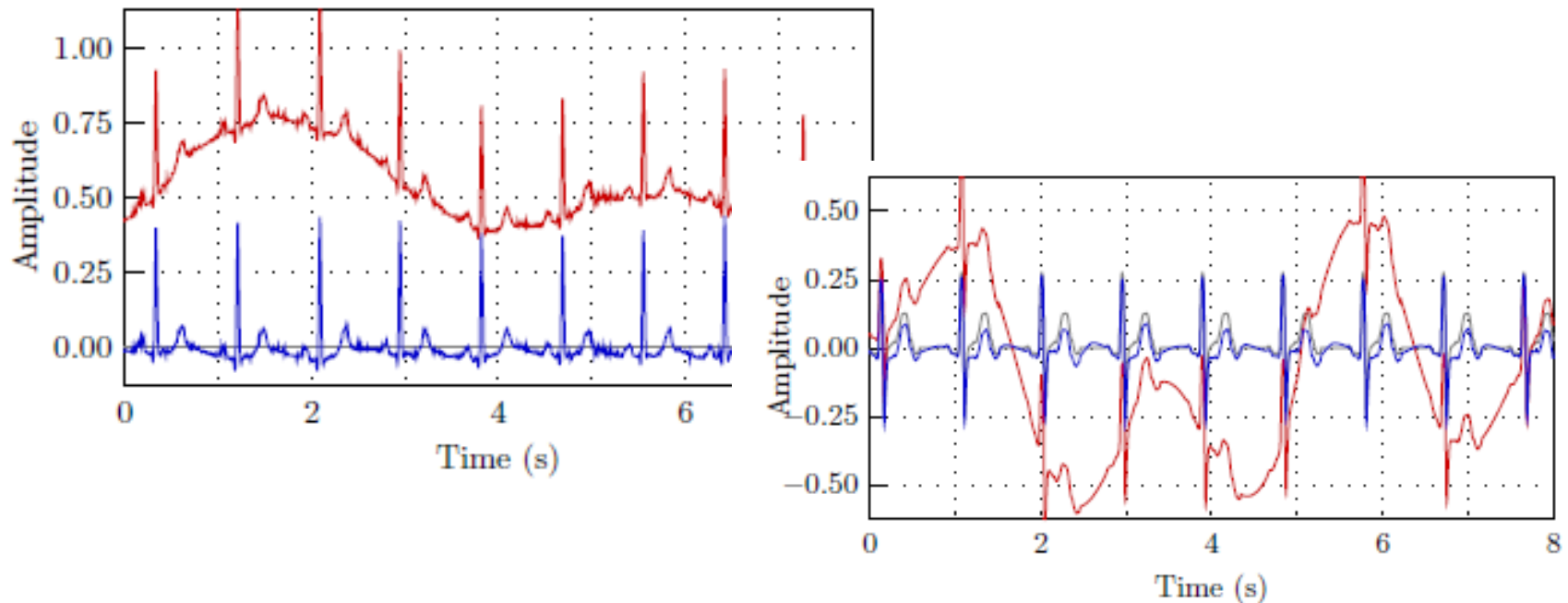


Reference: David Cuesta Frau, Pattern Recognition Techniques Applied to Biomedical Signal Processing, PhD Course, Prague, 2003

Využití DWT



- Fitrace signálu
- Využití N-té aproximace (nižší frekvence signálu)
- Odstranění dané aproximace (aproximací) ze signálu

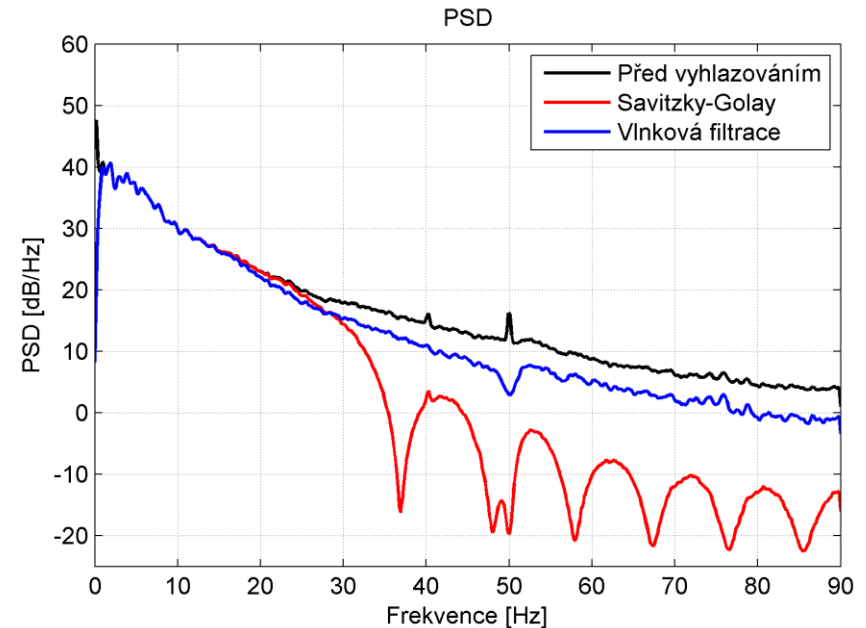
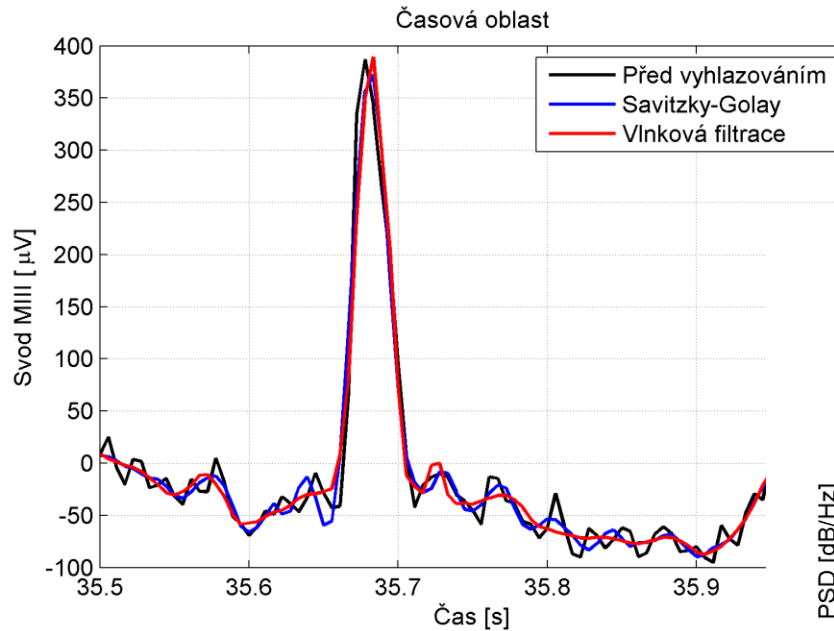


Reference: Borries, R.F. & Pierluissi, J.H. & Nazeran, Hodayoun. (2005). Wavelet Transform-Based ECG Baseline Drift Removal for Body Surface Potential Mapping. Conference proceedings : ... Annual International Conference of the IEEE Engineering in Medicine and Biology Society. IEEE Engineering in Medicine and Biology Society. Conference. 4. 3891-4. 10.1109/IEMBS.2005.1615311.

Využití DWT (2)



- Příklad využití pro vyhlazení signálu

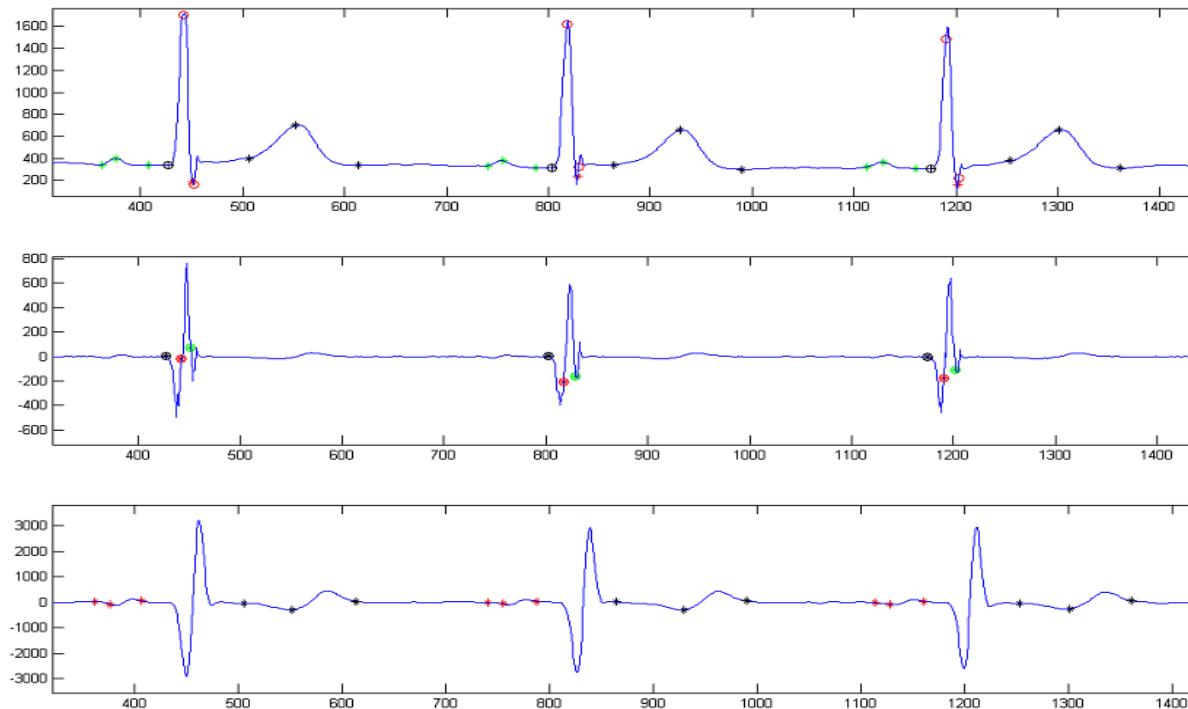


Reference: Tomáš Kaiser, *Hodnocení záznamů holtrovského EKG u pacientů se srdeční amyloidózou*, Diplomová práce, ČVUT FEL, 2015

Využití DWT (3)



- Příklad rozměření signálu na základě vlnkové transformace
- Rozdělení signálu pomocí vlnkové transformace na 4 aproximace a 4 detaily
- Detekce v 1. a 4. detailu



Reference: Michal Huptych, *Předzpracování a vizualizace se zaměřením na signál EKG*, Diplomová práce, ČVUT FEL, 2005

Vlnková transformace v Matlabu



- Příkazy v Matlabu jsou rozděleny pro spojitou a diskrétní transformaci
- Základním příkazem pro spojitou vlnkovou transformaci je **cwt**
- Inverzní vlnková transformace je **icwt**
- Existuje příkaz pro vytvoření banky filtrů i pro cwt – **cwtfilterbank**
- Diskrétní transformace má příkaz **dwt** a **idwt** pro inverzní transformaci
- Pro informace o vlnkách je příkaz **waveinfo**
- V rámci GUI má Matlab příkaz **waveletAnalyzer**

